

ΓΕΩΔΑΙΤΙΚΗ ΜΕΘΟΔΟΣ ΠΑΡΑΚΟΛΟΥΘΗΣΗΣ ΤΩΝ ΠΑΡΑΜΟΡΦΩΣΕΩΝ ΣΗΡΑΓΓΩΝ*

Β.Α. ΚΟΝΤΟΓΙΑΝΝΗ¹, Σ.Κ. ΣΤΕΙΡΟΣ¹

ΣΥΝΟΨΗ

Η εσδήλωση παραμορφώσεων στο ευποτερεύο σηράγγων είναι προτεύον παράγοντας στο υχεδιασμό του έργου και η καταγραφή τους συνδέεται άμεσα με την ασφάλεια και λειτουργικότητα της κατασκευής. Στο παρελθόν, η μέθοδος που χρησιμοποιούνταν για τη μέτρηση των παραμορφώσεων βασιζόνταν στη χρήση επιμηκανισμένων υψηλής ακρίβειας, πρόσφατα δύναμης αναπτύχθηκε η μέθοδος της γεωδαιτικής παρακολούθησης (monitoring) των μετακινήσεων στο δρόμο της εκσκαφής. Αντικείμενο της παρούσας μελέτης αποτελεί η διερεύνηση της ακρίβειας της γεωδαιτικής μεθόδου στις εφαρμογές παρακολούθησης των παραμορφώσεων σήραγγας. Το θεωρητικό σφάλμα της μεθόδου υπολογίστηκε στα 8mm. Παρόλα αυτά η ανάλυση γεωδαιτικά παρατηρούμενων μετατοπίσεων της οδοφρής σηράγγων σε καλής ποιότητας βραχώδη υλικά, όπου δεν αναμένονται μετακινήσεις τοιχωμάτων, παρουσιάζει φανομενικές μετατοπίσεις 4mm, τιμή που αποτελεί την ακρίβεια της γεωδαιτικής μεθόδου.

ABSTRACT

Tunnel excavation produces a void, which tends to close due to the load of the overlying rock mass. Tunnel closure which is somewhat proportional to the tunnel's dimension and is sometimes a threat for modern tunnels, whose radius is usually larger than 10m and their length longer than 250m, takes the form of either a reduction of the tunnel section or a partial or total collapse.

In case of tunnel constructed in weak rocks, extra support, for instance a strong lining is necessary. This lining is expensive and efforts to be avoided, if possible, are always made. Decision making on to whether extra support is necessary is mostly based on the amplitude of subsidence of tunnel ceiling or its overall closure. So, several methods have been developed for monitoring tunnel deformation during the excavation procedure.

Deformation of tunnels, especially those in over-stressed or weak rocks, was traditionally measured based on *in situ*-adapted instruments (extensometers) or INVAR tapes of high accuracy (1mm), techniques expensive and affecting or even disrupting the excavation works. In the last years, however, in many cases these techniques are replaced by conventional geodetic techniques - total station measurements at fixed reflectors regularly spaced along parallel sections. This method provides minimal interference with the tunneling operations, gives absolute rather than relative deformation measurements and is simple, inexpensive and functional.

The aim of this paper is to present an assessment of the accuracy of this technique and show that it is acceptable for most modern tunnels.

An *a priori* analysis of geodetic data indicates an expected accuracy of the order of 8,5 mm for both vertical and horizontal displacement measurements. However an analysis of a complete record of data collected from two different tunnels in Greece (Eytaxis tunnel part of Athens - Patras railway road and Drapetsona tunnel part of Piraeus by-pass road) excavated in good quality rock (limestone of RMR approximately 60) indicates that: in tunnels in which finite element analysis predicts no deformation and no eye-witness signs of deformation exist, geodetic data reveal up to 4mm displacements.

Therefore, we can arrive at three conclusions: First, the value of +/-4mm represents the accuracy of the geodetic method of monitoring tunnel deformation. Second, this method can be effectively applied when and where deformation higher than 4mm is expected; Consequently, it can be applied in the vast majority of tunnels dug nowadays in Greece and other areas. Third, this method is simple, functional and can replace all other methods for monitoring tunnel deformation, provided that the latter is above the 4mm threshold.

* GEODETIC MONITORING OF TUNNEL DEFORMATION.

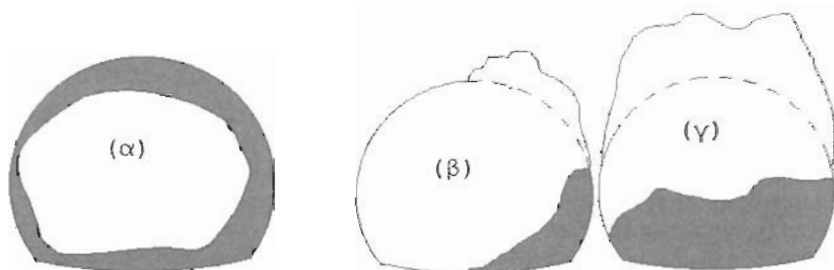
1. Εργαστήριο Γεωδαισίας Τμήματος Ηλεκτρονικής Υπολογιστής Πατρών, 26500 Πάτρα.

ΛΕΞΕΙΣ ΚΑΕΙΔΙΑ: Παραμορφώσεις σηράγγων, γεωδαιτική μέθοδος, θεωρητικό και πραγματικό σφάλμα.
KEY WORDS: Tunnel monitoring, geodetic method, *a priori* and *a posteriori* errors.

1. ΕΙΣΑΓΩΓΗ

Κατά τη διάνοιξη υπογείων και την αφαίρεση τμημάτων εδαφικού ιλίου, προκαλέται μεταβολή στο πεδίο των τάσεων γύρω από την εκσκαφή και εκδηλώνονται παραμορφώσεις στον περιβάλλοντα εδαφικό χώρο. Οι τιμές των παραμορφώσεων ανεξάνονται σε περιπτώσεις χαλαρών εδαφών, μεγάλου ύψους υπερχειμένων εδάφων και εκσκαφών μεγάλων διαστάσεων (Szichy, 1973). Κατά τη διάνοιξη του έργου απαιτείται οι παραμορφώσεις να μην ξεπεράσουν τα όρια ασφαλείας που θέτουν σε κίνδυνο την ευστάθεια της υπόγειας εκσκαφής. Παράδειγμα αποτέλεσμα η σήραγγα Τιμφροστού που παρουσίασε παραμορφώσεις ως και 2m (Tsatsanifos et al., 1999). Η τελεκή διατομή μετά τη σταθεροποίηση των παραμορφώσεων δεν είχε τις απαιτούμενες διαστάσεις και κρίθηκε απαραίτητη η επινεκραφή της σήραγγας, με αποτέλεσμα το τελικό κόστος να είναι πολλαπλάσιο του αρχικού προϋπολογισμού του έργου.

Παραλληλα με τον περιορισμό των παραμορφώσεων σε ασφαλή επίπεδα, οι τεχνικές διάνοιξης που ακολουθούνται τα τελευταία χρόνια απαιτούν να αναπτύξουν το εδαφικό μέσο γύρω από τη σήραγγα ώῃ την αντοχή του, ώστε με τον πιο απλό και οικονομικό συνδιευθυντικό μέτρον αντιστροφής να περιορίζονται οι παραμορφώσεις στα επιθυμητά όρια (NATM, New Austrian Tunneling Method, Rabcewicz, 1964; Muller and Fecker, 1978). Οι αφεβαιώτητες όμως στον προσδιορισμό των τιμών των παραμέτρων και της ποιότητας του εδάφους σε ώλο το μήκος του έργου οδηγούν σε εκτιμήσεις που δεν αντιστοιχούνται το έδαφος εκσκαφής. Συνεπώς αν οι παράμετροι της βροχόμαζις υπερεκτιμηθούν κατά τη γεωλογική και γεωτεχνική διερεύνηση του εδάφους, θα εμφανιστούν μεγαλύτερες παραμορφώσεις από τις αναμενόμενες ή ακόμη και φαινόμενα τοπικής ή γενικής αστάθειας για το συστήμα αντιστροφής που θα έχει επιλεγεί (εικ.1). Σε τέτοιες περιπτώσεις ξεπερνούνται τα όρια ασφαλείας και στις διατομές που εμφανίζονται μεγάλες παραμορφώσεις απαιτείται η ενίσχυση του εδάφους με επιπλέον μέτρα αντιστροφής. Για να γίνει όμως αντιληπτή η ανάγκη των παραμορφώσεων έχουν αναπτυχθεί και χρησιμοποιούνται διάφορες μεθόδους.



Εικ.1: Μορφές παραμορφώσεων διατομών σηράγγων: (α) ανύγκλιση της διατομής, (β) τοπική αστοχία, (γ) γενική αστοχία. After Kovari and Amstad (1993).

Fig.1: Tunnel deformation: (a) reduction of the tunnel section, (b) partial collapse, (c) total collapse. After Kovari and Amstad (1993).

Η μέτρηση των παραμορφώσεων στο εσωτερικό μιας σήραγγας γίνεται με όργανα όπως γάβδοι ηλεκτρολυτικών αισθητήρων (electrolevel beams), για προσδιορισμό της καθίζησης και της σύγκλισης σήραγγας (Γεωργιάννου, 2000), με τη χρήση επιμηκυνσιομέτρων και με γεωδαιτικές μεθόδους.

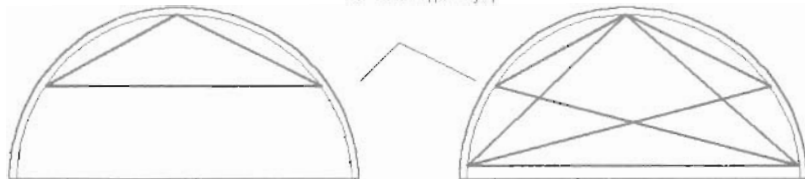
2. ΜΕΤΡΗΣΕΙΣ ΜΕ ΕΠΙΜΗΚΥΝΣΙΟΜΕΤΡΑ

Η μέτρηση των παραμορφώσεων στο εσωτερικό μιας σήραγγας γίνεται με τη χρήση επιμηκυνσιομέτρων (tape extensometers, INVAR tapes or wires) για τη μέτρηση συγκεκριμένων αποστάσεων (Schubert et al., 1994) με ακρίβεια 0,13mm ανά 10m (Dunnicliif, 1993, Kontogianni et al., 1999, εικ.2).

Η μέθοδος όμως των επιμηκυνσιομέτρων εμφανίζει σοβαρά μειονεκτήματα δεδομένου ότι:

1. εμποδίζει τις ταυτόχρονες εργασίες για τη διάνοιξη του έργου,
2. παρέχει σχετικές και όχι απόλυτες μετακινήσεις,
3. έχει μεγάλο κόστος

Ψηφιακή Βιβλιοθήκη "Θεόφραστος" - Τμήμα Γεωλογίας, Α.Π.Θ.



Εικ.2: Μετρήσεις της σύγκλισης σήραγγας με επιμηκυνούμετρα κατά μήκος των γραμμών στο εσωτερικό της διατομής. After Kovari and Amstad (1993).

Fig.2: Measurements with INVAR tapes or wires along the lines indicated. After Kovari and Amstad (1993).

3. ΓΕΩΔΑΙΤΙΚΗ ΠΑΡΑΚΟΛΟΥΘΗΣΗ ΣΗΡΑΓΓΩΝ

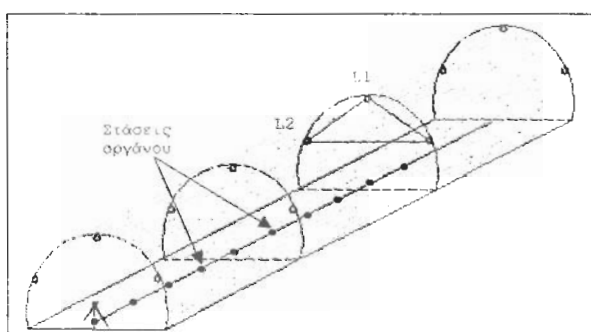
Κατά τη γεωδαιτική παρακολούθηση παραμορφώσεων σήραγγων ο έλεγχος προεγκατοποιείται με τοπογραφική αποτύπωση των μετακινήσεων σε τρεις άξονες (3-D Optical Monitoring) με γεωδαιτικό σταθμό (total station) και με οπτικούς ανακλαστήρες που εγκαθίστανται αμέσως μετά την τοποθέτηση της προσωρινής αντιστρίψεις (εικ.3). Με την εφαρμογή της γεωδαιτικής μεθόδου επιτυγχάνεται η μετρηση των μετακινήσεων στο επίπεδο προκαθορισμένων διατομών και κάθετα σ' αυτές (δηλαδή παράλληλα στον άξονα της σήραγγας).

Οι γεωδαιτικές μετρήσεις αποσκοπούν:

1. Στον προοδιορισμό των μετακινήσεων τόσο στη γειτονία του περιβάλλοντος μέσου, όσο και στο κέλυφος της επένδυσης
2. Στον καθορισμό της επάρχειας των διαφόρων μέτρων υποστήριξης που έχουν προβλεφθεί από τη μελέτη
3. Στον καθορισμό της ενοτάθειας και του βαθμού ασφαλείας του έργου
4. Στον καθορισμό της ανάγκης λήψης πρόσθιτων μέτρων, κατά τη φάση κατεύκευσης του έργου, έτοι ώστε να διασφαλισθεί ο απαύτημενος βαθμός ασφαλείας του.

3.1 Περιγραφη της διαδικασίας μετρησεων

Η γεωδαιτική μέθοδος παρακολούθησης των εδαφικών παραμορφώσεων στα τοιχώματα μιας σήραγγας βασίζεται στις αρχές της ταχυμετρίας. Η σκόπευση γίνεται διαδοχικά σε κάθε έναν από τους τρεις (ή περισσότερους στόχους) μιας διατομής (L1, L2, L3; εικ.3) και καταγράφονται οι συντεταγμένες τους. Οι μετρήσεις επαναλαμβάνονται καθημερινά μέχρι τη χρονική στιγμή που δεν παρατηρείται επιπλέον μεταβολή των συντεταγμένων των στόχων, σε διάνοτημα περίπου ενός μήνα από την τοποθέτηση των μέτρων αντιστροφής, για διάνοιξη σε σχετικά μικρά βάθη και για κανονικούς ρυθμούς προχωρώσις (συνήθως 3m /μέρα /μέτωπο). Εξ' αιτίας όμως εργαστικών παραμορφώσεων του εδάφους, στην παραπάνω διατομή γίνονται μετρήσεις μια φορά την εβδομάδα για μεγάλο χρονικό διάστημα μετά τον πρώτο μήνα συντηματικής παρακολούθησης με σκοπό να προβλεφθεί πιθανή αστοχία της σήραγγας λόγω εργασμού του εδάφους (Καββαδάς, 2000).



Εικ.3: Γεωδαιτική μέθοδος παρακολούθησης των παραμορφώσεων σε σήραγγα. Οι στόχοι (ανακλαστήρες) κάθε διατομής συμβολίζονται με L1, L2, L3 (Kontogianni et al., 1999).

Fig.3: Geodetic method for the observation of tunnel deformation. L1, L2 and L3 represent the reflectors of each section (Kontogianni et. al., 1999).

4. ΠΡΟΣΔΙΟΡΙΣΜΟΣ ΤΗΣ ΑΚΡΙΒΕΙΑΣ ΤΗΣ ΜΕΘΟΔΟΥ

4.1 A priori σφαλμα της γεωδαιτικής μεθόδου παρακολουθησης των συγκλισεων σήραγγας.

Οι τιμές των κατακορύφων και των οριζόντιων συγκλίσεων κατά την εσκαφή σήραγγας υπολογίζονται με βάση τη γεωδαιτική μέθοδο ως εξής:

- η κατακόρυφη σύγκλιση υπολογίζεται ως η μεταβολή του υψομέτρου του κεντρικού κατόπτρου (στην κλειδα της σήραγγας) δεδομένου ότι ο πυθμένιας της σήραγγας θεωρείται αμετακίνητος.
- η οριζόντια σύγκλιση υπολογίζεται ως η μεταβολή της οριζόντιας απώστασης των δύο πλευρικών κατόπτρων.

Συνεπώς τα σφάλματα που εμπεριέχονται στις τιμές της κατακόρυφης και οριζόντιας σύγκλισης είναι τα σφάλματα μέτρησης του υψομέτρου του κεντρικού κατόπτρου και της απώστασης των δύο πλευρικών κατόπτρων αντίστοιχα.

4.2 Σφάλματα μετρησης των υψομετρων του κεντρικου κατοπτρου

Το συνολικό σφάλμα που υπεισέρχεται στη μέτρηση του κατακορύφου υψομέτρου σημείου οφείλεται σε σφάλματα υπολογισμού του υψομέτρου από το όργανο, που προκύπτουν από σφάλματα μετρήσεων αποστάσεων και γωνιών, σε σφάλματα κέντρωσης, σε σφάλματα εστίασης του κατόπτρου ($\sigma_i =$ της τάξης των 5mm) και σε σφάλματα μέτρησης με μετροτανία (μέτρηση ύψους οργάνου, $\sigma_m =$ της τάξης των 2mm) (Mantélas et. al, 1995). Η εξασφάλιση της σταθερότητας του υψομέτρου του πυθμένα (όπου βρίσκονται οι στάσεις του οργάνου, εικ.3) γίνεται με τακτικές, επαναλληπτικές χιρουσταθμίσεις από εξωτερικά σταθερό σημείο. Σε περιπτώσεις που δεν ελέγχεται το υψομέτρο του πυθμένα πιθανή ανάφωση του (όπως πχ. στη σήραγγα Τυφλοπού) θα οδηγήσει σε λανθασμένη εκτίμηση της βύθισης της οροφής.

Το συνολικό σφάλμα υπολογισμού της κατακόρυφης σύγκλισης σε σήραγγα με γεωδαιτική μέθοδο παρακολούθησης με βάση το Νόμο Μετάδοσης των Σφαλμάτων (Bomford, 1971) και λαμβάνοντας υπόψη τα σφάλματα κέντρωσης, εστίασης κατόπτρου και μέτρησης του ύψους οργάνου με μετροτανία υπολογίστηκε: (για μήκος σκόπευσης= 25m). Ομοίως υπολογίζεται και το σφάλμα υπολογισμού της οριζόντιας σύγκλισης σήραγγας και προκύπτει στο 7.5mm.

4.3 A posteriori σφαλμα της γεωδαιτικής μεθόδου παρακολουθησης συγκλισεων σήραγγας.

Η πραγματική ακρίβεια της γεωδαιτικής μεθόδου παρακολούθησης των παραμορφώσεων σε σήραγγα μπορεί να προκύψει από τις τιμές συγκλίσεων που καταγράφηκαν γεωδαιτικά σε σήραγγες στις οποίες δεν αναμένονταν παραμορφώσεις (σήραγγες σε καλής ποιότητας βράχο με χαρτηλό ύψος υπερχειρισμού). Σ' αυτές τις περιπτώσεις η επίλυση της υπόγειας εσκαφής με προγράμματα πεπερασμένων στοιχείων προβλέπει πρακτικά μηδενικές μετακινήσεις των τοιχωμάτων της διατομής. Συνεπώς οι τιμές συγκλίσεων που μετρήθηκαν με τη χρήση γεωδαιτικών μεθόδων κατά τη διάνοιξη του έργου δεν είναι στατιστικά σημαντικές αλλά παρέχουν την ακρίβεια της γεωδαιτικής μεθόδου στις εφαρμογές παρακολούθησης των παραμορφώσεων στο εισωτερικό σηράγγων. Παρακάτω εξετάζονται αναλυτικά τιμές συγκλίσεων δύο διαφορετικών σηράγγων (Σήραγγα Ευταξία Σιδηροδρομικής Γραμμής Ελευσίνας-Κορίνθου και Σήραγγα Δραπετούνας Περιφερειακής Λεωφόρου Πειραιώς) στις οποίες δεν αναμένονταν παραμορφώσεις και βάσει των φαινομενικών τιμών συγκλίσεων προσδιορίζεται η ακρίβεια της γεωδαιτικής μεθόδου.

5. ΣΗΡΑΓΓΑ ΕΥΤΑΞΙΑ - ΣΙΔΗΡΟΔΡΟΜΙΚΗΣ ΓΡΑΜΜΗΣ ΕΛΕΥΣΙΝΑΣ-ΚΟΡΙΝΘΟΥ

Η σήραγγα Τρικέρατου στην περιοχή Ευταξία – Κόμβος Ν. Περάμου διανοίχτηκε στα πλαίσια της Νέας Σιδηροδρομικής Γραμμής Ελευσίνας-Κορίνθου. Το συνολικό μήκος της σήραγγας φτάνει τα 1700 m με μέγιστο υπερχειρισμένο ύψος 120 m. Η διάμετρος της διατομής που θα εκπαρθεί είναι 12,0 m. Το έργο μελετήθηκε από την ΠΑΝΓΑΙΑ Ε.Π.Ε. και οι εργασίες διάνοιξης ολοκληρώθηκαν πριν από τρία χρόνια περίπου από την κατασκευαστική εταιρία ΑΒΑΞ Α.Ε. Στοιχεία της μελέτης του έργου αντλήθηκαν από το τεύχος μελέτης του έργου που συντάχθηκε από την ΠΑΝΓΑΙΑ Ε.Π.Ε.

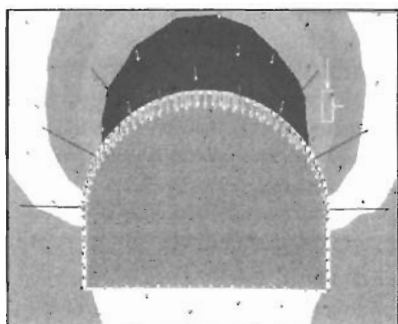
5.1 Γεωλογια της περιοχης - Γεωτεχνικη ταξινομηση βραχομαζας

Γεωλογικά οι σχηματισμοί που εμφανίζονται κυρίως είναι αποθέσεις Πλειστοκανικής ηλικίας, οι οποίες περιλαμβάνουν χαλαρή αργιλώδη άμμο με χαλίγια κατά θέσεις και στη συνέχεια άμμο με ίλιν και λατύπες. Οι υποκείμενοι ασθετολιθιμοί γίνονται λεπτοπλακώδεις με εγδιαστούρεις ψαμμιτικήν μαργάρων. Το υπόβαθρο της περιοχής αποτελείται από Κρητοδιάκονος ασφεστολιθούς με κερατολιθικούς που στα ανώτερα στοιχεία

ματα είναι λεπτοπλακώδεις ενώ βαθύτερα γίνονται πιαχυπλακώδεις. Στο σχηματισμό αυτό θα διατρηθεί ολό-
ήληρη η σήραγγα.

Η ταξινόμηση της βραχύμαζας κατά μήκος της σήραγγας έγινε με τα συστήματα Bieniawski (RMR, Bieniawski, 1989) και Barton (Q; Barton et al., 1974). Με βάση το κριτήριο Bieniawski η τιμή του RMR εκτιμή-
θηκε από 32 ως 61 (πτωχή /κατηγορία IV ως καλή /κατηγορία II). Βάσει του κριτηρίου του Barton η τιμή του
δείκτη Q εκτιμήθηκε ότι θα κυμανόταν από 0,27 ως 8,00.

Για μήκος 200m από το μέτωπο εισόδου αναμένεται να συναντηθεί ασβεστολιθικό υλικό με δείκτη RMR=61
(κατηγορία II) και με υπερχείμενο που κυμαίνεται από 20 ως 45m. Η ανάλυση της σήραγγας με μέθοδο πεπε-
ραμένων στοιχείων προβλέπει μέγιστη τιμή κατακόρυφης μετακίνησης της οδοφής 0,7mm (υπερχείμενο 60m;
εικ.4). Είναι προφανές ότι η ανιψιευόμενη κατακόρυφη μετακίνηση εκτιμάται μικρότερη από 0,7mm, για το
υπερχείμενο ύψος που υπάρχει στο εξεταζόμενο μήκος της σήραγγας (<60m)

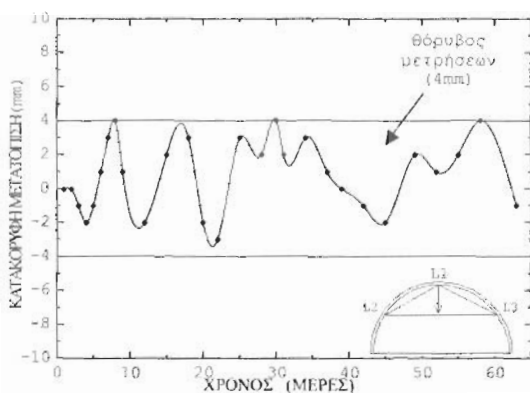


**Εικ.4: Ανάλυση με πρόγραμμα πεπεραμένων στοιχείων. Προβλεπόμενες κατακόρυφες μετατοπίσεις των
τοιχωμάτων της σήραγγας του Ευταξία (σε mm).**

Fig.4: Finite element analysis. Estimated subsidence of Eytaxias tunnel ceiling and walls (in mm).

5.2 Γεωδαιτικά στοιχεία

Οι τιμές συγκλίσεων των διατομών που καταγράφηκαν στο τμήμα της υπόγειας σιδηροδρομικής οδού για
τα πρώτα 200m του μήκους της παρουσιάζονται στην εικ.5. Η μορφή και το εύρος της μετακίνησης είναι ενδει-
κτική για όλες τις διατομές που παρακολουθούνται στα πρώτα μέτρα της σήραγγας. Από την εικ.5 προκύπτει
ότι η διακύμανση των παρατηρούμενων τιμών κατακόρυφης μετατόπισης είναι ± 4 mm.



**Εικ.5: Φαινομενικές μεταβολές των υψομέτρων των κεντρικού ανακλαστήρα (L1) σε αντιπροσωπευτικό σημείο της
σήραγγας Ευταξία κατά τη διάρκεια μετρήσεων σε διάστημα 2 περίποτον μηνών. Οι μεταβολές αυτές βρίσκονται σε
ζώνη πλάτους ± 4 mm και δεν εκφράζουν πραγματικές μεταβολές, αλλά την αβεβαιότητα των μετρήσεων.**

Fig.5: Apparent elevation changes of the central reflector (L1) height at a representative position of Eytaxias tunnel for a two-month period. The changes range between the values ± 4 mm, which is not real tunnel deformation but express the method accuracy.

6. ΣΗΜΑΓΓΑ ΔΡΑΠΕΤΣΩΝΑΣ ΠΕΡΙΦΕΡΕΙΑΚΗΣ ΛΕΩΦΟΡΟΥ ΠΕΙΡΑΙΑ

Η υπό κατασκευή Περιφερειακή Λεωφόρος του Πειραιά περιλαμβάνει την κατασκευή διπλής σήραγγας στη Δραπετσώνα (περιοχή εργοστασίου ΔΕΗ). Το μήκος της υπόγειας οδού είναι 220 m με μέγιστο υπερζεύμενο 40 m και διάμετρο 10.0m. Το έργο μελετήθηκε από την Α.Δ.Φ. Σύμβολοι Γεωτεχνικοί Μηχανοί Ε.Π.Ε. Η διάνοιξη της σήραγγας βρίσκεται σε εξέλιξη από την κατασκευαστική εταιρία ΑΒΑΞ Α.Ε.

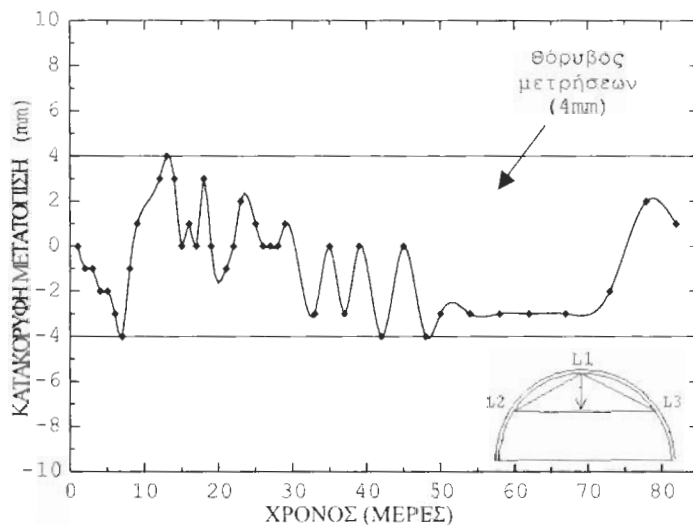
6.1 Γεωλογία της περιοχής - Γεωτεχνική ταξινόμηση βραχόμαξας

Σύμφωνα με τη γεωλογική μελέτη οι σχηματισμοί που δομούν την περιοχή ανήκουν στους νεογενείς σχηματισμούς και περιλαμβάνουν από τους παλαιότερους προς τους νεότερους κάτιονες αφριούχες μάργες με ενιστόψεις κροκαλοπαγιόν, μαργαϊκούς αιθεοπόλιθους με λεπτές ενιστόψεις φαλακιτόν, μάργες κιτρινόλευκες και πυρόδεις υπόλευκους αιθεοπόλιθους στα ανώτερα στρώματα.

Η γεωτεχνική ταξινόμηση της βραχόμαξας έγινε βάσει της μεθόδου Bieniawski (RMR), της μεθόδου Barton (Q) και της μεθόδου GSI (Hoek, 1994). Η τιμή της παραμέτρου RMR επιτυμήθηκε 41 και 61 (μετρια/κατηγορία III ως καλή/κατηγορία II) για διύλι θυμητά (A και B) του συγών τμήματος της εκσκαφής. Η βαθμονόμηση κατά Barton έδωσε τιμές της παραμέτρου Q 4,0 και 16,0 και η βαθμονόμηση κατά GSI έδωσε τιμές GSI 41 και 60 για τα θυμητά A και B αντίστοιχα. Στην παρούσα μελέτη έχεται μήκος 50m (με υπερζεύμενο 25m) του τμήματος B στο οποίο πρακτικά επιτυμήθηκε ότι δεν αναμένονται μετατοπίσεις της οροφής της σήραγγας.

6.2 Γεωδαιτικά στοιχεία

Οι τιμές συγκλίσεων των διατομών που καταγράφηκαν στο τμήμα της υπόγειας οδού παρουσιάζονται στην εικ.6. Όπως και στην περιπτωτική της σήραγγας του Ευταξία η μορφή και το εύρος της μετακίνησης είναι ενδεικτική για όλες τις διατομές που παρακολουθούνται στο υποεξέταση τμήμα της σήραγγας. Από την εικ.6 προκύπτει ότι η διακύμανση των παρατηρούμενων τιμών κατακόρυφης μετατόπισης είναι ± 4 mm.



Εικ. 6: Φαινομενικές μεταβολές του υψομέτρου του κεντρικού ανακλιστήρα (L1) σε αντιπροσωπευτικό σημείο της σήραγγας της Δραπετσώνας κατά τη διάρκεια μετρήσεων σε διάστημα 3 μηνών. Οι μεταβολές αυτές βρίσκονται σε ζώνη πλάτους ± 4 mm και δεν εκφράζουν πραγματικές μεταβολές, αλλά την αβεβαιότητα των μετρήσεων.

Fig.6: Apparent elevation changes of the central reflector (L1) height at a representative position of Drapetsona tunnel for a two-month period. The changes range between the values ± 4 mm, which is not real tunnel deformation but express the method accuracy.

6. ΣΗΡΑΓΓΑ ΑΡΑΠΕΤΣΩΝΑΣ ΠΕΡΙΦΕΡΕΙΑΚΗΣ ΛΕΩΦΟΡΟΥ ΠΕΙΡΑΙΑ

Η υπό κατασκευή Περιφερειακή Λεωφόρος του Πειραιά περιλαμβάνει την κατασκευή διπλής σήραγγας στη Δραπετσώνα (περιοχή εργοστασίου ΔΕΗ). Το μήκος της υπόγειας οδού είναι 220 m με μέγιστο υπερωμένο 40 m και διάμετρο 10,0m. Το έργο μελετήθηκε από την Α.Δ.Φ. Σύμβουλοι Γεωτεχνικοί Μηχανικοί Ε.Π.Ε. Η διάνοιξη της σήραγγας βρίσκεται σε εξέλιξη από την κατασκευαστική εταιρία ΑΒΑΞ Α.Ε.

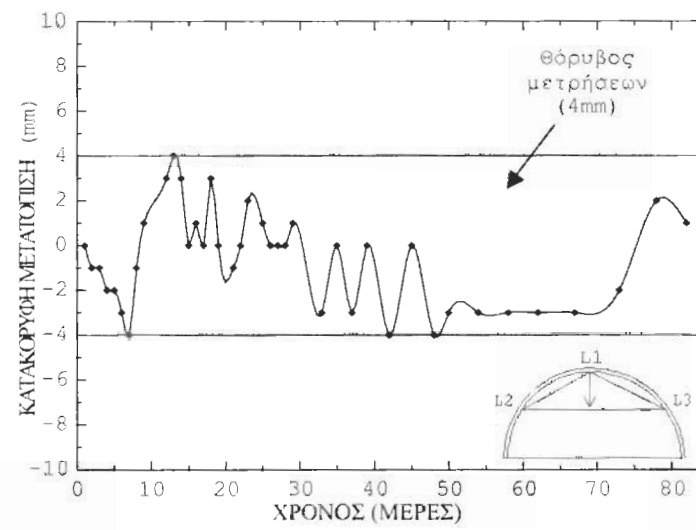
6.1 Γεωλογία της περιοχής - Γεωτεχνική ταξινόμηση βραχόμαζας

Σύμφωνα με τη γεωλογική μελέτη οι σχηματισμοί που δομούν την περιοχή ανήκουν στους νεογενείς σχηματισμούς και περιλαμβάνουν από τους παλαιότερους προς τους νεότερους κίτρινες αμμούχες μάργες με εντοράδεις κροκαλόπαγών, μαργάκους αισθετολίθους με λεπτές εντοράδεις φαρμακιών, μάργες κιτρινόλευκες και πορώδεις υπόλευκους αισθετόλιθους στα ανότερα στρώματα.

Η γεωτεχνική ταξινόμηση της βραχόμαζας έγινε βάσει της μεθόδου Bieniawski (RMR), της μεθόδου Barton (Q) και της μεθόδου GSI (Hoek, 1994). Η τιμή της παραμέτρου RMR εκτιμήθηκε 41 και 61 (μέτρια/κατηγορία III ως καλή/κατηγορία II) για δύο τμήματα (A και B) του κυρίως τμήματος της εκσκαφής. Η βαθμονόμηση κατά Barton έδωσε τιμές της παραμέτρου Q 4,0 και 16,0 και η βαθμονόμηση κατά GSI έδωσε τιμές GSI 41 και 60 για τα τμήματα A και B αντίστοιχα. Στην παρούσα μελέτη εξετάζεται μήκος 50m (με υπερεκίμενο 25m) του τμήματος B στο οποίο πρακτικά εκτιμήθηκε ότι δεν αναμένονται μετατοπίσεις της οροφής της σήραγγας.

6.2 Γεωδαιτικά στοιχεία

Οι τιμές συγκλίσεων των διατομών που καταγράφηκαν στο τμήμα της υπόγειας οδού παρουσιάζονται στην εικ.6. Όπως και στην περιπτωτική της σήραγγας του Ευταξία η μορφή και το εύρος της μετακίνησης είναι ενδεικτική για όλες τις διατομές που παρακολουθούνται στο υποεξέταση τμήμα της σήραγγας. Από την εικ.6 προκύπτει ότι η διακύμανση των παρατηρούμενων τιμών κατακόρυφης μετατόπισης είναι ±4mm.



Εικ. 6: Φαινομενικές μεταβολές του υψομέτρου του κεντρικού ανακλαστήρα (L1) σε αντιπροσωπευτικό σημείο της σήραγγας της Δραπετσώνας κατά τη διάρκεια μετρήσεων σε διάστημα 3 μηνών. Οι μεταβολές αυτές βρίσκονται σε ζώνη πλάτους +/-4mm και δεν εκφράζουν πραγματικές μεταβολές, αλλά την αβεβαιότητα των μετρήσεων.

Fig.6: Apparent elevation changes of the central reflector (L1) height at a representative position of Drapetsona tunnel for a two-month period. The changes range between the values +/-4mm, which is not real tunnel deformation but express the method accuracy.

Ψηφιακή Βιβλιοθήκη "Θεόφραστος"

7. ΣΥΜΠΕΡΑΣΜΑΤΑ

Ενώ το θεωρητικό μοντέλο δείχνει ότι η ακρίβεια είναι 8mm, πραγματικές μετρήσεις σε σήραγγες όπου δεν αναμένονται παραμορφώσεις έδειχναν ότι οι αντίστοιχες τιμές κυμαίνονται σε ζώνη πλάτους ±4mm (θρύβος μετρήσεων), και η οποία συνεπώς εκφράζει την ακρίβεια της μεθόδου σε συνήθεις μετρήσεις. Με βάση το παραπάνω συμπέρασμα είναι προφανές ότι παρατηρήσεις συγκλίσεων με εύρος μικρότερο από ±4mm δεν είναι στατιστικά σημαντικές και συνεπώς δεν περιγράφουν τη συμπεριφορά των εδάφους. Αντίθετα, μετρήσεις πάνω από το όριο αυτό, αν έχουν γίνει με χρήση των προδιαγραφών (πχ. υποτημπατική επαναμέτρηση της άδευτης), με ελεγμένα δρυγάνα, σε συνήθεις σχεδόν ομοιόμορφες, επροίξουν την πραγματική συμπεριφορά των εδάφους. Αν απαιτείται να ανιχνευτούν παραμορφώσεις μικρότερες των 4mm, θα πρέπει να εφαρμόζονται άλλες μεθόδοι, πχ. μετρήσεις με εξαναγκασμένες σεντρότεις, γεωμετρική χωροσταθμισμη της βασικής άδευτης κλπ.

Συμπερασματικά, βάσει του θεωρητικού προσδιορισμού της ακρίβειας της μεθόδου και πραγματικών μετρήσεων δυο σηράγγων, προκύπτει ότι η γεωδαιτική παραπολούθηση των μετατοπίσεων των τοιχωμάτων σήραγγας παρουσιάζει σημαντικά πλεονεκτήματα και θα μπορούσε να αντικαταστήσει τις μεθόδους καταγραφής των παραμορφώσεων που χρησιμοποιούνται μέχρι σήμερα.

ΕΥΧΑΡΙΣΤΙΕΣ

Ευχαριστούμε την καροσενάστρια εταιρία ΑΒΑΞ Α.Ε και ιδιαίτερα τον Ζ. Δ. Τεσσέρη, που μας διέθεσε τα στοιχεία συγκλίσεων και στοιχεία των γεωλογικών και γεωτεχνικών μελετών των δυο έργων. Επίσης ευχαριστούμε την εταιρία ΠΑΝΓΑΙΑ Ε.Π.Ε., η οποία μας διέθεσε επιπλέον στοιχεία της μελέτης της σήραγγας Ευταξία.

ΒΙΒΛΙΟΓΡΑΦΙΑ

- BARTON, N., LIEN, R., LUNDE, J. (1974). Engineering Classification of Rock Masses for the Designing of Tunnel Support. *Rock Mechanics*, 2, pp. 183-236.
- BIENIAWSKI, Z.T. (1989). *Engineering Rock Mass Classifications*. Wiley & Sons, NY.
- BOMFORD, B. 1971: Geodesy (Third edition).
- ΓΕΩΡΓΙΑΝΝΟΥ, Β. Ν. (2000). Χρήση Γεωτεχνικών Οργάνων-Οργανομετρήσεις. Επιστημονικές Εκδόσεις Γρ. Παρισάνος, ISBN: 960-340-170-6, 220σελ.
- DUNNICLIFFE, J. (1993). *Geotechnical Instrumentation for Monitoring Field Performance*. John Wiley & Sons, Inc. U.S.A., 577pp.
- HOEK, E.(1994). Strength of rock and rock masses. *ISRM News Journal*,2(2),pp. 4-16
- ΚΑΒΒΑΔΑΣ, Μ. (1999). Σημειώσεις Σχεδιασμού Υπογείων Έργων. Έκδοση Ε.Μ.Πολυτεχνείου (www.civil.ntua.gr/kavvadas).
- KONTOGIANNI, V., TESSERIS, D., STIROS S. (1999). Efficiency of geodetic data to control tunnel deformation. Proc. of The 9th FIG International Symposium on Deformation Measurements. Olsztyn, Poland, pp. 206-214.
- KOVARÍ, K., AMSTAD, C. (1993): Decision making in tunneling based on field measurements. *Compressive rock engineering*, Bergamon 4, pp. 571-606.
- MULLER, L., FECKER, E. (1978). Grundgedanken und Grundsätze der Neuen Österreichischen Tunnelbauweise. *Felsmechanik Kolloquium*, Karlshuhe, Trans. Tecn. Publ., Clausthal, Germany.
- ΞΕΙΔΑΚΗΣ, Γ. (1997). Μέθοδοι Ανάλυσης Υπογείων Έργων σε πετρώματα. Μέρος III. Μέθοδοι Παρατήρησης. Πρακτικά Ημερίδας: Γεωλογία Σηράγγων & Υπογείων Έργων -Εμπειρίες από τον Ελληνικό Χώρο. Ελ. Γεωλογική Εταιρία, Αθήνα, p. 317-333.
- RABCEWICZ, L.V. (1964). The New Austrian Tunneling Method. *Water and Power*, Part I, November, pp. 43-457.
- SCHUBERT, P., VAVROVSKY, G.M. (1994). Interpretation of monitoring results. *World Tunneling*. November, pp. 351-356.
- SZÉCHY, K.(1973). The art of tunneling. 2nd edition. Akadémiai Kiadó, Budapest.
- TSATSANIFOS, C., MANTZIARAS, P., GEORGIOU, D. (1999). Squeezing rock response to NATM Tunneling. A case study. Proc. of 1st ΙΑΤΙΘ. Symp. on Geotechnical Aspects of Underground Construction in Soft Rock. Japan, pp. 167-172.